

3.2.4. Свободные колебания в электрическом контуре.

Гусаров Николай

Группа Б02-005

Цель работы: исследования свободных колебаний в колебательном контуре.

В работе используются: генератор импульсов, электронное реле, магазин сопротивлений, магазин ёмкостей, индуктивность, электронный осциллограф, универсальный мост.

Теория

Свободные колебания

Рассмотрим электрический контур, состоящий из последовательно соединённых конденсатора C , катушки индуктивности L и резистора R . Обозначим разность потенциалов на конденсаторе U_C , а ток, текущий в контуре, через I . Второе правило Кирхгофа:

$$L \frac{d^2 I}{dt^2} + R \frac{dI}{dt} + \frac{I}{C} = 0. \quad (1)$$

Вводя обозначения $\gamma = \frac{R}{2L}$, $\omega_0^2 = \frac{1}{LC}$, получим уравнение

$$\ddot{I} + 2\gamma \dot{I} + \omega_0^2 I = 0. \quad (2)$$

Его решение в общем виде:

$$I = -\frac{U_0}{L\kappa} e^{-\gamma t} \text{sh}(\kappa t), \quad (3)$$

где $\kappa = \sqrt{\gamma^2 - \omega_0^2}$, $U_0 = U_C$ — начальное напряжение на конденсаторе.

Затухающие колебания

В случае, когда $\gamma < \omega_0$, имеем $\kappa = i\omega$, где $\omega = \sqrt{\omega_0^2 - \gamma^2}$ — частоты свободных (собственных) колебаний. Тогда ток

$$I = -\frac{U_0}{L\omega} e^{-\gamma t} \sin(\omega t) \quad (4)$$

затухает и имеет колебательный характер. Величина γ определяет затухание колебаний: $\gamma = \frac{1}{\tau}$, где τ — время затухание амплитуды в e

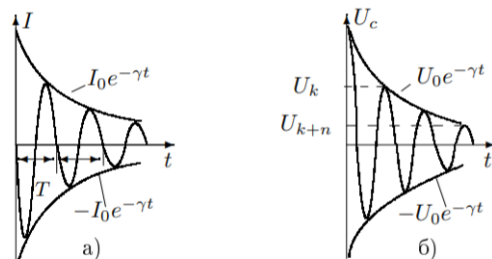
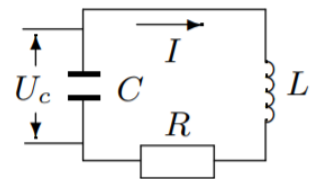


Рис. 1: Затухающие колебания.

раз. Формулы для наярание на конденсаторе и тока в цепи можно переписать иначе:

$$\begin{aligned} U_C &= U_0 \frac{\omega_0}{\omega} e^{-\gamma t} \cos(\omega t - \theta), \\ I &= -\frac{U_0}{L} e^{-\gamma t} \cos(\omega t - \theta). \end{aligned} \quad (5)$$

Аперидические колебания

В случае $\gamma > \omega_0$, формулы для тока и наярания на конденсаторе имеют следующий вид:

$$\begin{aligned} I &= -\frac{U_0}{L\kappa} e^{-\gamma t} \text{sh}(\kappa t), \\ U_C &= U_0 e^{-\gamma t} \left(\frac{\gamma}{\kappa} \text{sh}(\kappa t) + \text{ch}(\kappa t) \right). \end{aligned}$$

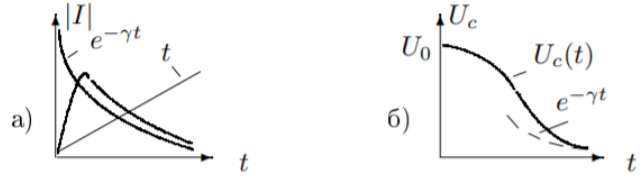


Рис. 2: Критический режим.

Процесс в этом случае не является колебательным, его называют аперидическим.

Режим, соответствующий $\gamma = \omega_0$, называются *критическим*.

В этом случае предельный переход $\omega \rightarrow 0$ в (5) даст

$$\begin{aligned} I &= -\frac{U_0}{L} t e^{-\gamma t}, \\ U_C &= U_0 e^{-\gamma t} (1 + \gamma t). \end{aligned}$$

Сопротивление в этом случае

$$R_{\text{кр}} = 2\sqrt{\frac{L}{C}} \quad (6)$$

называется *критическим сопротивлением* контура.

Добротность контура по определению

$$Q = 2\pi \frac{W}{\Delta W},$$

где W – запасённая энергия, ΔW – потери за период. Тогда

$$Q = 2\pi \frac{CU_0^2/2 \cdot e^{-2\gamma t}}{CU_0^2/2 \cdot (e^{-2\gamma t} - e^{-2\gamma(T+t)})} = \frac{\pi}{\gamma T} = \frac{1}{R} \sqrt{\frac{L}{C}}. \quad (7)$$

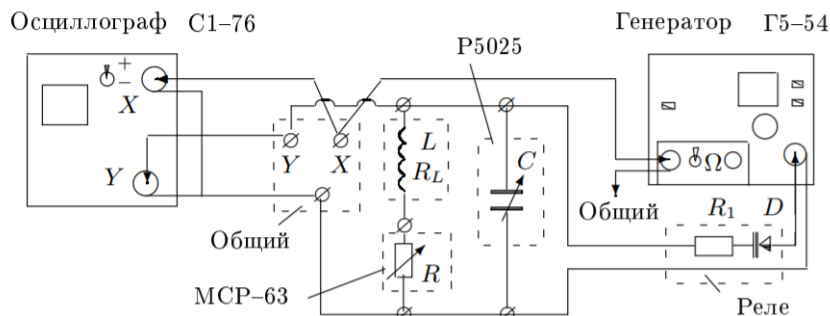
Логарифмическим декрементом затухания называются число

$$\Theta = \ln \frac{U_k}{U_{k+1}} = \ln e^{\gamma T} = \gamma T. \quad (8)$$

или

$$\Theta = \frac{1}{n} \ln \frac{U_k}{U_{k+n}}. \quad (9)$$

Описание установки



На рисунке приведена схема для исследования свободных колебаний в контуре, содержащем постоянную индуктивность L и переменные ёмкость C и сопротивление R . Колебания наблюдаются на экране осциллографа.

Для периодического возбуждения колебаний в контуре используется генератор импульсов Г5-54. С выхода генератора по коаксиальному кабелю импульсы поступают на колебательный контур через электронное реле, смонтированное в отдельном блоке (или на выходе генератора). Реле содержит тиристор D и ограничительный резистор R_1 .

Импульсы заряжают конденсатор C . После каждого импульса генератор отключается от колебательного контура, и в контуре возникают свободные затухающие колебания. Входное сопротивление осциллографа велико (≈ 1 МОм), так что его влиянием на контур можно пренебречь. Для получения устойчивой картины затухающих колебаний используется режим ждущей развёртки с синхронизацией внешними импульсами, поступающими с выхода «синхроимпульсы» генератора.

Ход работы

На генераторе устанавливаем длительность импульсов 5 мкс, частоту повторения $\nu_0 = 100$ Гц. На магазине сопротивлений устанавливаем величину $R = 0$ Ом, на магазине ёмкостей – $C = 0.02$ мкФ. По картине на осциллографе проведём измерение зависимости периода свободных колебаний от ёмкости.

T , мс	C , мкФ
0,32	0,02
0,75	0,12
1,02	0,22
1,26	0,32
1,42	0,42
1,57	0,52
1,74	0,62
1,84	0,72
1,93	0,82
2,08	0,9

Таблица 1: Зависимость $T = T(C)$.

Считая $L \approx 200$ мГн, рассчитаем C , при которой $\nu_0 = 1/2\pi\sqrt{LC} = 5$ кГц: $C \approx 5$ нФ. Критическое сопротивление в этом случае $R_{кр} \approx 12500$ Ом. Измерим зависимость $\Theta(R)$ декремента затухания от сопротивления в диапазоне $0.1R_{кр} \div 0.3R_{кр}$, пользуясь формулой (??):

Θ	R, Ом
0,38	560
0,48	700
0,61	900
0,72	1100
0,79	1300
0,96	1500
1,1	1700

Таблица 2: Зависимость $\Theta = \Theta(R)$ по развертке сигнала.

Получив изображение колебаний на фазовой плоскости (в координатах $\left(U_C, \frac{dU_C}{dt}\right)$), убеждаемся, что декремент затухания вычисленный по тем же способом практически совпадает с вычисленным в координатах (U_C, t) :

Θ	R, Ом
0,35	560
0,43	700
0,56	900
0,72	1100
0,8	1300
0,9	1500
1,07	1700

Таблица 3: Зависимость $\Theta = \Theta(R)$ по фазовой диаграмме сигнала.

С помощью универсального моста измеряем индуктивность L и R_L катушки для трёх значений частоты:

R_L , Ом	9,6	12,5	21,2
L , мГн	138	133	133
Q	4,5	66,7	197
ν , кГц	0,05	1,00	5,00

Таблица 4: Экспериментально полученные параметры индуктивности.

Обработка результатов

Рассчитаем теоретически периоды свободных колебаний и сравним с полученными экспериментально:

$T_{theor}, \text{ мс}$	$T_{exp}, \text{ мс}$
0,33	0,32
0,81	0,75
1,09	1,02
1,32	1,26
1,51	1,42
1,68	1,57
1,84	1,74
1,98	1,84
2,11	1,93
2,21	2,08

Таблица 5: Сравнение теоретических и экспериментальных периодов.

Результат представим на графике:

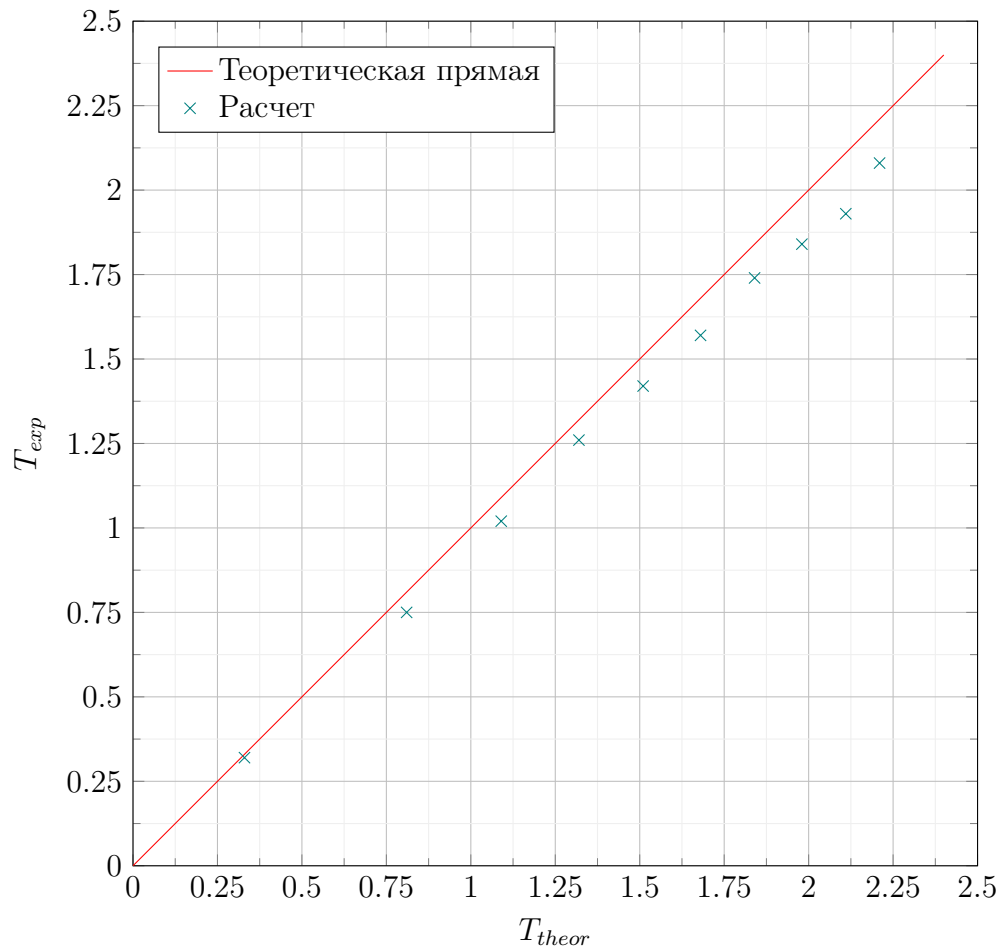


Рис. 3: Зависимость теоретического периода колебаний от экспериментального.

Построим зависимость для поиска R_{cr} :

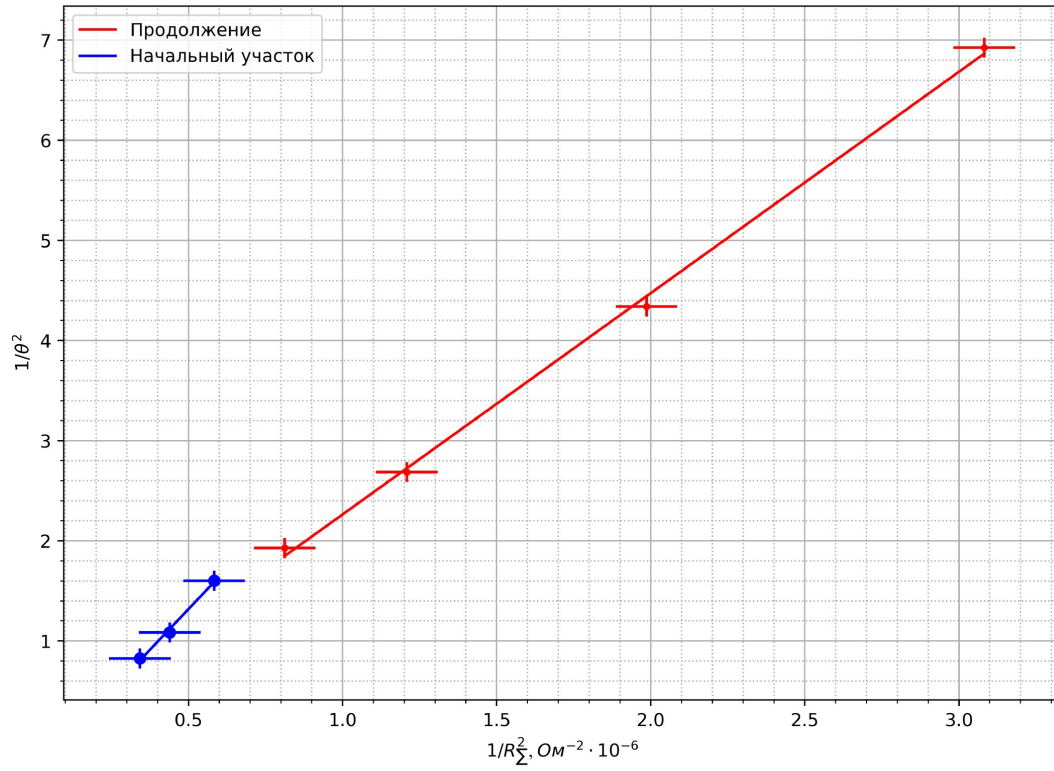


Рис. 4: Зависимость для поиска R_{cr} : $k_{init} = 3,25 \cdot 10^6 \text{ Ом}^2$

Рассчитаем критическое сопротивление по формуле

$$R_{cr} = 2\pi\sqrt{k_{init}} = (11 \pm 0,5) (k\text{Ом})$$

Теоретическое значение $R_{cr} = 2\sqrt{\frac{L}{C}} = (10,5 \pm 0,5) (k\text{Ом})$ – совпадает в пределах погрешности.

Для конутуров с максимальным и минимальным декрементом θ рассчитаем добротность Q экспериментальную – $Q = \frac{\pi}{\theta}$ – и теоретическую – $Q = \frac{1}{R}\sqrt{\frac{L}{C}}$:

	θ	$R, \text{Ом}$	$Q_{\text{теор}}$	$Q_{\text{эксп}}$
Макс	$1,07 \pm 0,1$	1700	$3,06 \pm 0,04$	$2,9 \pm 0,13$
Мин	$0,35 \pm 0,1$	560	$9,31 \pm 0,08$	$8,97 \pm 0,56$

Таблица 6: Добротности для конутуров с наибольшим и наименьшим затуханием.